

MSCT in diagnosis of pulmonary atresia with ventricular septal defect

HOU Jie^{1,2}, XIAO Junrui², SUN Yu², LIU Chang², YANG Benqiang^{2*}

(1. Graduate School, Jinzhou Medical University, General Hospital of Shenyang Military Region of PLA Training Base for Graduate, Jinzhou 121000, China; 2. Department of Radiology, the General Hospital of Shenyang Military Region of PLA, Shenyang 110016, China)

[Abstract] **Objective** To explore the value of MSCT in diagnosis of pulmonary atresia complicated with ventricular septal defect (PA/VSD). **Methods** Clinical and imaging data of 81 patients with PA/VSD were retrospectively analyzed. All patients underwent transthoracic echocardiography (TTE) and MSCT before surgical operation, and the imaging data were compared with surgical findings. **Results** There were 23 patients of type A1, 17 of type A2, 34 of type B and 7 of type C PA/VSD. The accuracy rate of MSCT classification of PA/VSD (93.82% [76/81]) was higher than that of TTE (59.26% [48/81]; $\chi^2 = 26.95$, $P < 0.01$). The accuracy rate of MSCT diagnosis of origin of major aortopulmonary collateral arteries (MAPCAs, 100% [93/93]) was higher than that of TTE (51.84% [51/93]; $\chi^2 = 54.25$, $P < 0.01$). Fifty cardiac malformations (50/53, 94.34%) were detected with MSCT, 53 with TTE ([53/53, 100%]; $\chi^2 = 1.37$, $P = 0.24$), while 66 heart-vessel conjunction abnormalities (66/66, 100%) were detected with MSCT, and 65 with TTE ([65/66, 98.48%], $P > 0.05$). Meanwhile, 106 extracardiac great vessel abnormalities (106/106, 100%) were detected with MSCT and 87 with TTE ([87/106, 82.08%], $\chi^2 = 20.87$, $P < 0.05$). McGoon index, pulmonary artery index and total neo-pulmonary arterial indexes (TNPAI) measured with MSCT were not statistical different with findings of surgical operation (all $P > 0.05$). **Conclusion** MSCT can accurately diagnose type of PA/VSD and display pulmonary artery developmental state, therefore providing guidance for clinical treatment of PA/VSD.

[Key words] Pulmonary atresia; Heart septal defects, ventricular; Tomography, X-ray computed

DOI: 10.13929/j.1003-3289.201704028

MSCT 诊断肺动脉闭锁伴房间隔缺损

侯洁^{1,2}, 肖俊睿², 孙玉², 刘畅², 杨本强^{2*}

(1. 锦州医科大学研究生院 中国人民解放军沈阳军区总医院研究生培养基地, 辽宁 锦州 121000;
2. 中国人民解放军沈阳军区总医院放射诊断科, 辽宁 沈阳 110016)

[摘要] **目的** 探讨 MSCT 诊断肺动脉闭锁伴房间隔缺损(PA/VSD)的价值。**方法** 回顾性分析 81 例 PA/VSD 患者的临床及影像资料。将患者术前经胸超声心动图(TTE)、MSCT 检查结果与手术结果对比。**结果** PA/VSD A1 型 23 例, A2 型 17 例, B 型 34 例, C 型 7 例。MSCT 诊断 PA/VSD 分型的准确率为 93.82% (76/81), 高于 TTE [59.26% (48/81); $\chi^2 = 26.95$, $P < 0.01$]; MSCT 诊断粗大主动脉及肺侧支循环动脉(MAPCAs)来源准确率为 100% (93/93), 高于 TTE [51.84% (51/93); $\chi^2 = 54.25$, $P < 0.01$]。MSCT 检出心内畸形 50 处 (50/53, 94.34%), TTE 检出 53 处 (53/53, 100%), 二者差异无统计学意义 ($\chi^2 = 1.37$, $P = 0.24$); MSCT 检出心脏-大血管连接异常 66 处 (66/66, 100%), TTE 检出 65 处

[第一作者] 2015 辽宁省国产医疗器械研发、评价与推广协同创新工程(2015305010)、2016 国家工信部、卫计委两部委课题(2016MHD110002002101)。

[第一作者] 侯洁(1990—), 女, 江苏盐城人, 硕士, 医师。研究方向: 心血管影像诊断。E-mail: houjie00718@126.com

[通信作者] 杨本强, 中国人民解放军沈阳军区总医院放射诊断科, 110016。E-mail: bqyang888@sina.com

[收稿日期] 2017-04-07 **[修回日期]** 2017-08-03

(65/66, 98.48%), 二者差异无统计学意义($P>0.05$)；MSCT 检出心外大血管异常 106 处(106/106, 100%), 高于 TTE [82.08% (87/106); $\chi^2=20.87$, $P<0.01$]。结论 MSCT 可准确诊断 PA/VSD 分型及肺血管发育情况, 为临床诊疗提供指导。

[关键词] 肺动脉瓣闭锁; 室间隔缺损; 体层摄影术, X 线计算机

[中图分类号] R541.1; R814.42 [文献标识码] A [文章编号] 1003-3289(2018)04-0528-05

肺动脉闭锁伴室间隔缺损(pulmonary atresia with ventricular septal defect, PA/VSD)是一种发绀型先天性心血管畸形, 约占活产儿的 4.2/10 000~10/10 000^[1]。因 PA/VSD 病死率高, 故早期诊断非常重, 且手术是唯一有效的治疗方法^[2]。随着 MSCT 分辨力的提高, 其可清晰显示心脏、大血管解剖位置关系及肺动脉发育情况等。本研究旨在探讨 MSCT 诊断 PA/VSD 的价值。

1 资料与方法

1.1 一般资料 收集 2010 年 1 月—2016 年 12 月在中国人民解放军沈阳军区总医院接受治疗、经外科或心血管造影证实的 PA/VSD 患者 81 例, 其中男 45 例, 女 36 例, 年龄 3 个月~40 岁, 中位年龄 2 岁。临床表现为不同程度发绀、气促、心脏杂音等。53 例接受手术治疗, 其中根治术 3 例、墨尔本分流术 15 例、改良 B-T 分流术 19 例, 心内修复+跨瓣环右心室流出道补片+加宽术 7 例, 心内修复+同种带瓣管道右心室-肺动脉连接术 1 例, Rastelli 术(异种带心包带瓣牛静脉)1 例, 心内修复+右心室-肺动脉心外管道连接术 3 例, 心内修复+右心室流出道重建术 1 例, 1 期单源化+心内修复术 2 例, 单心室修复术-双向 Glenn 术 1 例。

1.2 仪器与方法 采用 Philips Brilliance iCT 256 层螺旋 CT 及 GE CT750 HD 能谱型 CT 扫描仪。3 岁以下婴幼儿镇静后在平静呼吸下接受扫描, 余患者屏气后接受扫描。采用前瞻性心电门控, 管电压 80~120 kV, 管电流 80~200 mAs, 准直器 128×0.625 mm, 有效层厚 0.9 mm, 层间距 0.45 mm, 管球转速 0.27 s/rot。增强扫描: 经足背静脉或右侧肘静脉注入碘海醇(350 mgI/ml), 成人注射剂量 30~60 ml, 速率 3.5~5.0 ml/s; 小儿注射剂量 0.6~1.5 ml/kg 体质量, 速率 0.5~3.0 ml/s。左心室 CT 值达 100~150 HU 时启动计时器, 延迟 7 s 后开始扫描, 以同等速率跟注 5~20 ml 生理盐水冲洗。扫描范围自胸廓入口至膈下 5 cm, 必要时加扫腹部。

经胸超声心动图(transthoracic echocardiography, TTE)检查采用 Philips iE33 型超声诊断仪, S7-2 探头,

频率 2~7 MHz, 患者取仰卧、左侧或右侧卧位, 将探头置于胸骨左缘二、三肋间, 对剑突下左心室长轴、大动脉短轴、心尖四腔等切面进行扫查。

1.3 分类标准 根据文献[3]将 PA/VSD 分为 3 型: ① A 型, 未闭动脉导管(patent ductus arteriosus, PDA)供应肺动脉及所有肺段; A1 型有肺动脉干、A2 型无肺动脉干; ② B 型, 小的肺动脉供应部分肺段, 少数粗大主动脉及肺侧支循环动脉(major aortopulmonary collateral arteries, MAPCAs)供应发育不全的肺动脉或直接供应肺段; ③ C 型, MAPCAs 供应所有肺段, 无真正肺动脉。

根据来源, 将 MAPCAs 分为 3 类^[3-4]: ① 起源于支气管动脉; ② 起源于降主动脉, 入肺供应至少一个肺叶或肺段, 在肺内为肺动脉, 肺外为体循环动脉; ③ 间接起源于主动脉大分支, 如内乳动脉、锁骨下动脉, 在肺外与中心肺动脉连接。

1.4 图像分析 将 CT 图像传至 GE AW 4.4 工作站, 进行 MPR、MIP 及 VR 等。由 2 名心脏影像诊断医师分析图像并诊断。评估指标包括^[5]: ① McGoon 比值, 为(左肺动脉直径+右肺动脉直径)/膈肌水平胸主动脉直径; ② 肺动脉指数(pulmonary arterial index, PAI), 为(左肺动脉横截面积+右肺动脉横截面积)/体表面积; ③ 全部新的肺动脉指数(total neopulmonary arterial index, TNPAI), 为(左肺动脉横截面积+右肺动脉横截面积+MAPCAs 横截面积)/体表面积; 体表面积(m^2) = 0.006 1 × 身高(cm) + 0.012 8 × 体质量(kg) - 0.152 9。

1.5 统计学分析 采用 SPSS 13.0 统计分析软件。计量资料以 $\bar{x}\pm s$ 表示, MSCT 与手术评估指标比较采用独立样本 *t* 检验; 计数资料以百分数表示, 两种检查方法间的比较采用 χ^2 检验或四格表 Fisher 确切概率法, $P<0.05$ 为差异有统计学意义。

2 结果

81 例 PA/VSD 患者中, A 型 40 例(40/81, 49.38%), B 型 34 例(34/81, 41.98%), C 型 7 例(7/81, 8.64%)。MAPCAs 93 支, 起源于支气管动脉 2 支, 起源于降主动脉 72 支, 间接起源于主动脉弓大分

支 19 支, 其中起源于锁骨下动脉 7 支(4 例起源于左锁骨下动脉、3 例起源于右锁骨下动脉), 起源于胸廓内动脉 4 支, 起源于头臂干动脉 2 支, 起源于右无名动脉 3 支, 起源于冠状动脉 3 支(2 例起源于右侧冠状动脉, 1 例起源于左回旋支)。见图 1~3。

房间隔缺损位于膜部 61 例、肌部 11 例、动脉干下型 7 例、流出道型 2 例。40 例 A 型患者, A1 型 23 例, A2 型 17 例, 其中 16 例左右肺动脉有连接, 1 例左右肺动脉无连接、由双侧 PDA 供血。34 例 B 型患者中, 有肺动脉干 6 例, 无肺动脉干 25 例, 其中左右肺动脉连接 12 例、左右肺动脉无连接 13 例, 左肺动脉缺如 2 例, 右肺动脉缺如 1 例。7 例 C 型患者均无肺动脉。

MSCT 诊断 PA/VSD 分型的准确率为 93.82% (76/81), 高于 TTE [59.26% (48/81); $\chi^2 = 26.95$, $P < 0.01$]。MSCT 诊断 MAPCAs 来源的准确率为 100% (93/93), 高于 TTE [51.84% (51/93); $\chi^2 = 54.25$, $P < 0.01$]。

53 例接受手术治疗的 PA/VSD 中, MSCT 检出心内畸形 50 处 (50/53, 94.34%), TTE 检出 53 处 (53/53, 100%), 二者差异无统计学意义 ($\chi^2 = 1.37$, $P = 0.24$); MSCT 检出心脏-大血管连接异常 66 处 (66/66, 100%), TTE 检出 65 处 (65/66, 98.48%), 二者差异无统计学意义 ($P > 0.05$); MSCT 检出心外大血管异常 106 处 (106/106, 100%), 高于 TTE [82.08% (87/106); $\chi^2 = 20.87$, $P < 0.01$; 表 1]。MSCT 显示左、右肺动静脉瘘各 1 例, 左、右肺支气管起源变异各 1 例, 左、右肺三叶 1 例, 水平肝 1 例, 无脾综合征 1 例。MSCT 测量 McGoon 比值、PAI、TNPAI 值与手术比较差异均无统计学意义 (P 均 > 0.05 , 表 2)。

3 讨论

肺动脉瓣或肺动脉主干至肺动脉分叉处闭锁后, 肺的血供主要依靠 PDA 和/或 MAPCAs 供应^[3]。PDA 供应肺最为常见^[6], 本组 A 型 40 例, 占 49.38%; B 型和 C 型 41 例, 均存在 MAPCAs, 其多起

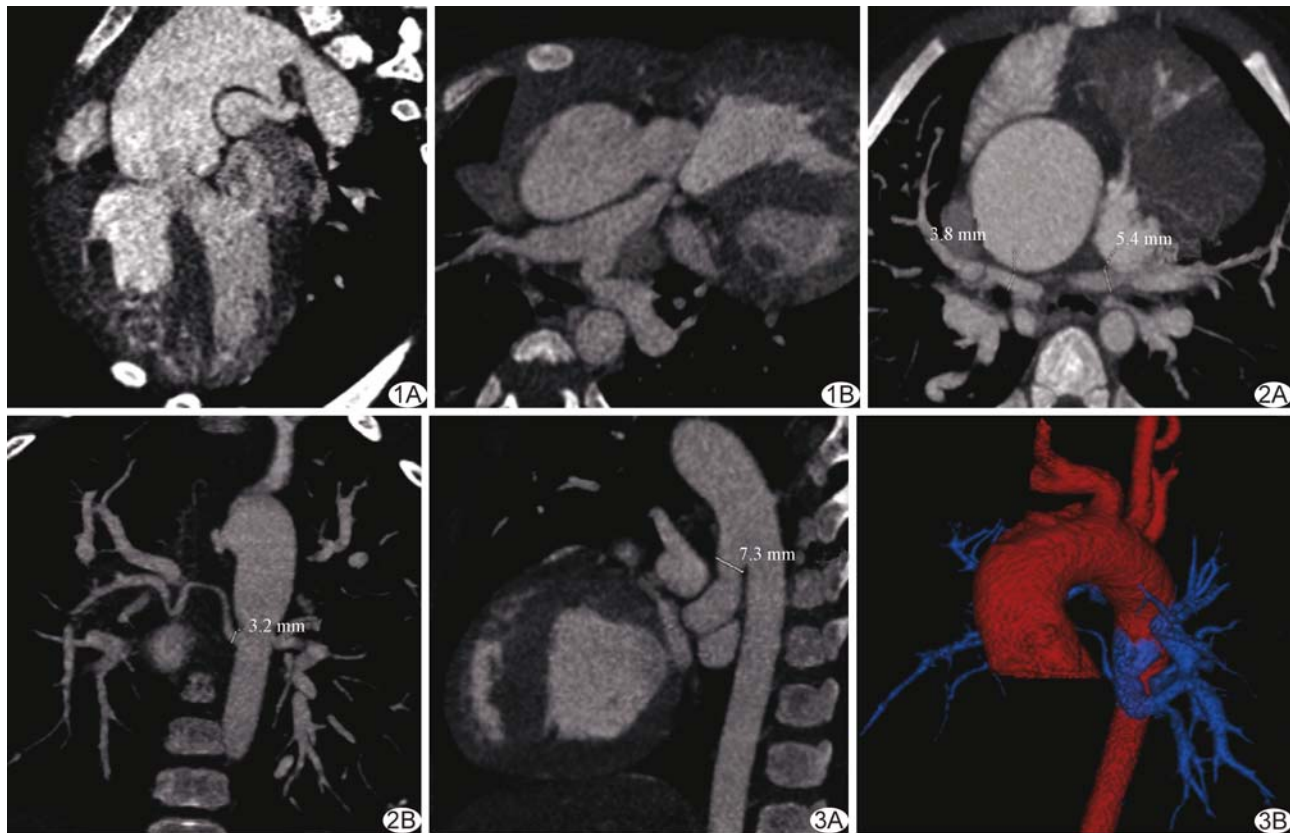


图 1 患儿男,3岁,PA/VSD A型 A.斜矢状位图像可见VSD及PDA; B.轴位图像示肺动脉干近端闭锁,左右肺动脉发育良好

图 2 患儿女,6个月,PA/VSD B型 A.轴位图像示左右肺动脉发育纤细,肺门水平左、右肺动脉直径分别为3.8 mm、5.4 mm; B.冠状位示降主动脉发出侧支直径3.2 mm

图 3 患儿男,2岁,PA/VSD C型 A.矢状位图像示主动脉弓降部发出粗大侧支,直径7.3 mm; B.三维重建图像显示侧支情况

表 1 MSCT 与 TTE 检出 PA/VSD 伴发畸形的比较(处)

畸形种类	MSCT	TTE
心脏异常(n=53)		
房间隔缺损(n=12)	12	12
卵圆孔未闭(n=5)	5	5
单心室(n=4)	4	4
三房心(n=1)	1	1
左旋心(n=3)	3	3
右旋心(n=2)	2	2
镜面右位心(n=3)	3	3
右心室发育不良(n=2)	2	2
共同心房(n=3)	3	3
心房异构(n=5)	5	5
三尖瓣异常(n=3)	2	3
主动脉瓣异常(n=5)	4	5
共同房室瓣(n=2)	1	2
完全性房室隔缺损(n=3)	3	3
心脏-大血管连接异常(n=66)		
主动脉骑跨(n=52)	52	52
大动脉转位(n=8)	8	8
右心室双出口(n=1)	1	1
左心室双入口(n=3)	3	3
心室与大动脉连接处不一致(n=1)	1	1
主动脉-右心室瘘(n=1)	1	0
心外大血管异常(n=106)		
动脉导管未闭(n=40)	40	40
肺动脉狭窄(n=9)	9	5
肺静脉异位连接(n=4)	4	2
右位主动脉弓(n=19)	19	19
主动脉弓分支变异(n=3)	3	1
主动脉异常起源(n=2)	2	0
升主动脉扩张(n=2)	2	2
迷走右锁骨下动脉(n=2)	2	0
左头臂静脉异常(n=6)	6	3
永存左上腔静脉(n=13)	13	11
双侧上腔静脉(n=2)	2	2
冠状动脉发育变异(n=4)	4	0

表 2 MSCT 所测数据与手术比较($\bar{x} \pm s$)

方法	VSD(mm)	McGoon	PAI(mm^2/m^2)	TNPAI(mm^2/m^2)
MSCT	18.50 ± 6.66	1.31 ± 0.59	133.62 ± 99.05	159.34 ± 96.91
手术	18.98 ± 6.47	1.36 ± 0.60	141.38 ± 99.88	171.69 ± 94.63
t 值	-0.32	-0.33	-0.28	-0.47
P 值	0.75	0.75	0.78	0.64

源于降主动脉,其中 7 例 C 型患者无真正肺动脉,均由 MAPCAs 供血,为 PA/VSD 最严重的畸形^[7-9]。PA/VSD 分型中处于交界型常见,本组 7 例存在粗大 PDA,合并细小侧支,将其归为 A 型,因肺血供主要来源于 PDA,肺血管发育良好,侧支血供微量;另外,3 例患者 PDA 细小,肺动脉发育不全,MAPCAs 为肺血

供主要来源,将其归为 B 型。

MSCT 与 TTE 均可显示室间隔缺损及肺动脉,但 TTE 难以判断侧支血管起源,误漏诊较多。本组 TTE 将 9 例粗大的 PDA 误诊为 MAPCAs,分型准确率明显低于 MSCT,且 MSCT 可清晰显示 MAPCAs 起源、走行、数目、管径、是否存在狭窄等,较 TTE 有优越性。

本组显示 MSCT 和 TTE 对 PA/VSD 心内结构及伴发畸形的检出率均较高,且差异无统计学意义。但由于 MSCT 为断面静态成像,对瓣膜活动显示不佳,故本研究漏诊瓣膜畸形 3 例(1 例为主动脉瓣轻度狭窄,1 例为共同房室瓣,1 例为三尖瓣关闭不全)。MSCT 对心外大血管异常的检出率高于 TTE,可能因 TTE 易受声窗限制和肺气干扰,且病变钙化造成强回声也影响畸形的检出^[10]。此外,MSCT 还可检出支气管异常起源、肺动静脉瘘、肺叶畸形等异常。

McGoon 比值及 PAI 是目前常用于评价肺门近端血管的指标^[5],可为患者选择一期矫治手术或姑息手术提供指导。McGoon 比值 >1.5 ,应考虑修补 VSD;PAI $\geq 150 \text{ mm}^2/\text{m}^2$,应考虑采用根治术。对于 B 型 PA/VSD 患者,需考虑侧支血管直径并根据 TNPAI 决定是否闭合 VSD:当 TNPAI $\geq 200 \text{ mm}^2/\text{m}^2$,考虑暂不闭合 VSD,行一期单源化、心内修复术和/或同种带瓣管道右心室-肺动脉连接;对不满足上述条件者可行体肺动脉分流术、右心室流出道重建或同期肺动脉融合术^[11-12]。本研究显示 MSCT 测量 McGoon 比值、PAI、TNPAI 值与手术测值差异无统计学意义,故 MSCT 准确率较高。

手术是 PA/VSD 的首选治疗方法,但患者个体差

异大,故手术方案多样^[3]。传统心血管造影是诊断PA/VSD的金标准,因有创、费用较高、并发症多而患者不易接受^[13]。TTE诊断水平受操作者经验、技术的影响较大^[14]。术前MSCT检查可为手术及术后评估提供影像学资料,且MSCT可同时诊断肺部炎症等病变,有助于手术前后对症治疗。但MSCT对心瓣膜病变的显示欠佳,不能提供血流动力学相关指标,难以对患者进行完整的心功能评估;另外心电门控扫描婴幼儿,辐射剂量过高^[15],有待采用更低剂量、更快的创新型扫描方案。

综上所述,MSCT是确诊PA/VSD的快速、有效、无创方法,并可准确显示PA/VSD的心内、外异常结构及评估MAPCAs来源、走行、肺血管发育情况,心外大血管的解剖结构及冠状动脉变异,可作为PA/VSD术前检查手段之一。

[参考文献]

- [1] Kaskinen AK, Happonen JM, Mattila IP. Long-term outcome after treatment of pulmonary atresia with ventricular septal defect: Nationwide study of 109 patients born in 1970—2007. Eur J CardioThoracic Surg, 2016, 49(5):1411-1418.
- [2] 邓喜成,李守军.肺动脉闭锁合并室间隔缺损的外科治疗策略.中国胸心血管外科临床杂志,2010,17(1):50-54.
- [3] 汪曾炜,刘维永,张宝仁.心脏外科学.北京:人民军医出版社,2015,1219-1223.
- [4] Gupta A, Odim J, Levi D, et al. Staged repair of pulmonary atresia with ventricular septal defect and major aortopulmonary collateral arteries: Experience with 104 patients. J Thorac Cardiovasc Surg, 2003, 126(6):1746-1752.
- [5] 殷磊,吕滨,韩磊,等.双源CT术前定量分析肺动脉闭锁患者固有肺动脉及体肺侧支.中国医学影像技术,2010,26(6):1084-1087.
- [6] 颜立群,侯亚平,刘永,等.256层CT诊断肺动脉闭锁合并室间隔缺损的影像学分析.中国临床医学影像杂志,2013,24(11):768-771.
- [7] Khositseth A, Siripornpitak S, Pornkul R. Pulmonary atresia and ventricular septal defect with collaterals to right lung associated with anomalous left pulmonary artery from the ascending aorta. Pediatr Radiol, 2010, 40(1):72-76.
- [8] Mainwaring RD, Reddy VM, Perry SB, et al. Late outcomes in patients undergoing aortopulmonary window for pulmonary atresia/stenosis and major aortopulmonary collaterals. Ann Thorac Surg, 2012, 94(3):842-849.
- [9] Liavaa M, Brizard CP, Konstantinov IE, et al. Pulmonary atresia, ventricular septal defect, and major aortopulmonary collaterals: Neonatal pulmonary artery rehabilitation without unifocalization. Ann Thorac Surg, 2012, 93(1):185-191.
- [10] 汪洁,王青,崔凤玉.双源CT在先天性心脏病诊断中的应用价值.山东大学学报:医学版,2009,47(4):87-90.
- [11] Carotti A, Albanese SB, Minniti G, et al. Increasing experience with integrated approach to pulmonary atresia with ventricular septal defect and major aortopulmonary collateral arteries. Eur J Cardiothorac Surg, 2003, 23(5):719-727.
- [12] Benza RL, Gomberg-Maitland M, Frost AE, et al. Development of prognostic tools in pulmonary arterial hypertension: Lessons from modern day registries. Thromb Haemost, 2012, 108(6):1049-1060.
- [13] 张雪莲,王巧玲,马兵毅,等.多层螺旋CT在诊断法洛四联症中的应用.中国介入影像与治疗学,2006,3(6):425-427.
- [14] 白燕,陈正光,王荣峰,等.多层螺旋CT诊断复杂型先天性心脏病.中国介入影像与治疗学,2009,6(6):509-512.
- [15] 张健,杨明,莫绪明,等.不同管电压64层螺旋CT对儿童CTA图像质量和辐射剂量的影响.中国医学影像技术,2012,28(6):1213-1217.

致谢

科研工作的顺利完成离不开他人的帮助,在正文的最后应向对本研究提供过帮助的人致以谢意。致谢的对象包括:对研究工作提出指导性建议者,论文审阅者,资料提供者,技术协作者,帮助统计者,为本文绘制图表者,提供样品、材料、设备以及其他方便者。

致谢必须实事求是,应防止剽窃掠美之嫌,也勿强加于人,如未经允许写上专家、教授的名字,以示审阅来抬高自己。致谢一般要说明被谢者的工作的内容,如“技术指导”、“收集资料”、“提供资料”等。